

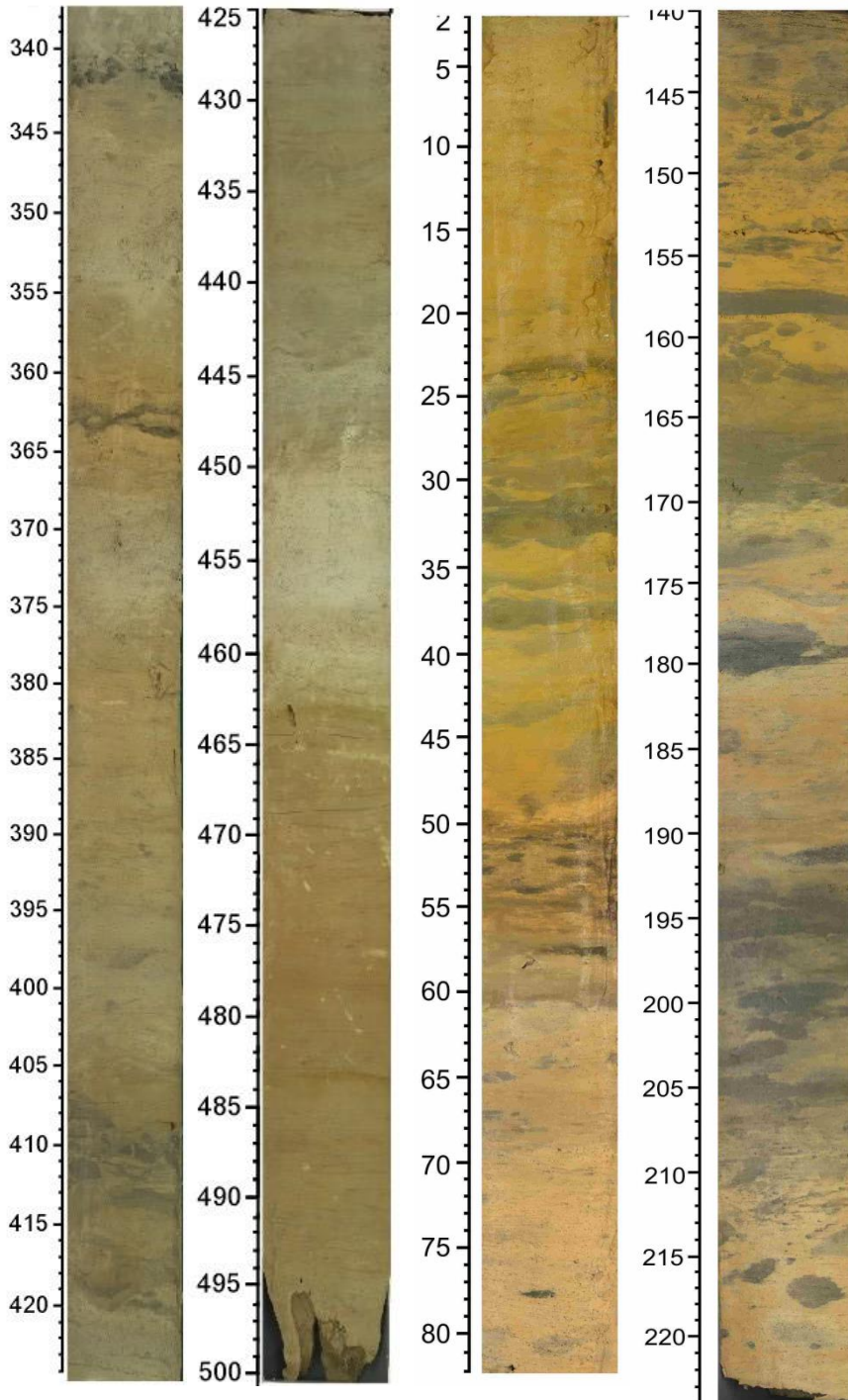


ИЗУЧЕНИЕ КОЛОНОК ДОННЫХ ОСАДКОВ

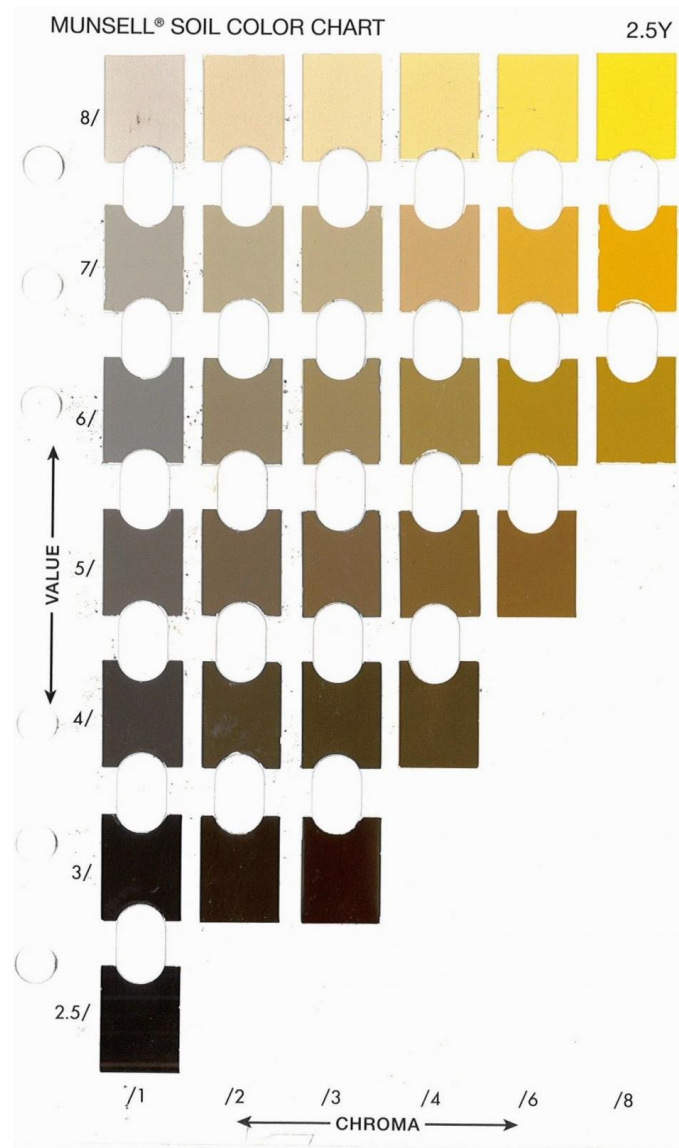
БОРИСОВ Д.Г.
ИОРАН

МАКРО

- ЦВЕТ
- ЗАПАХ
- ТЕКСТУРА
- КОНТАКТЫ
- ТВЕРДОСТЬ



ЦВЕТОВАЯ ШКАЛА МАНСЕЛЛА

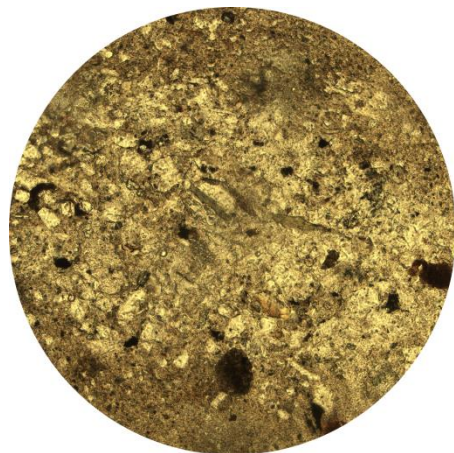


МИКРО

ПОЛЯРИЗАЦИОННЫЙ МИКРОСКОП



ВЕЩЕСТВЕННЫЙ
(МИНЕРАЛЬНЫЙ)
СОСТАВ



СТЕРЕОСКОПИЧЕСКИЙ МИКРОСКОП
(БИНОКУЛЯР)



ВЕЩЕСТВЕННЫЙ
СОСТАВ ОСАДКА
В КРУПНЫХ ФРАКЦИЯХ



ВИДОВОЙ СОСТАВ
МИКРОФОССИЛИЙ
(ВОЗРАСТ)

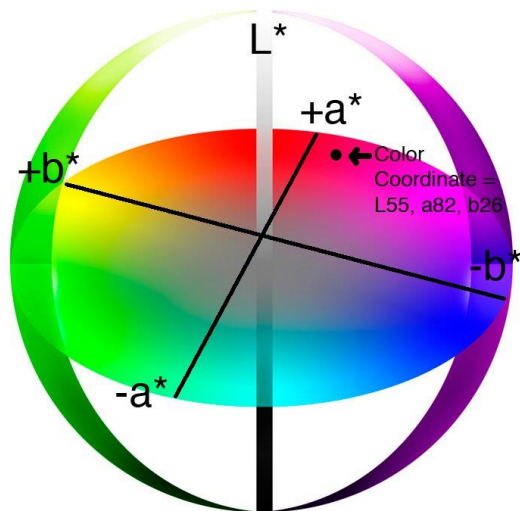
ЦВЕТ

СПЕКТРОФОТОМЕТР KONICA MINOLTA 2300d

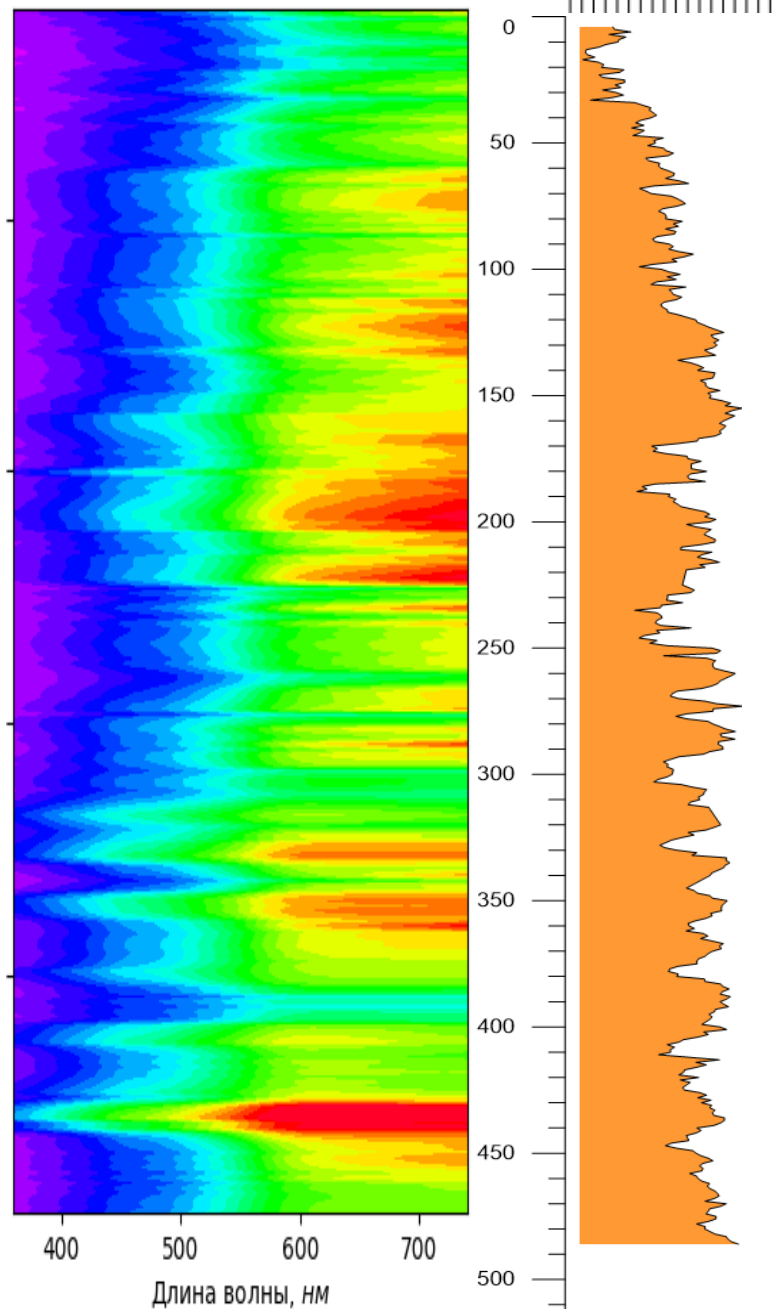
$L^*a^*b^*$



SCE D65 2°



Спектры отражения

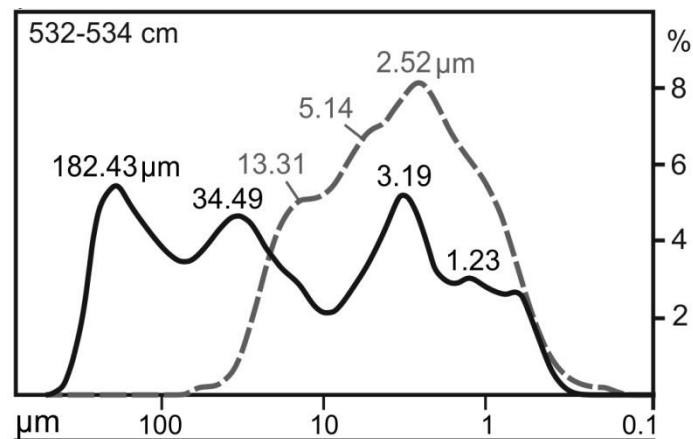
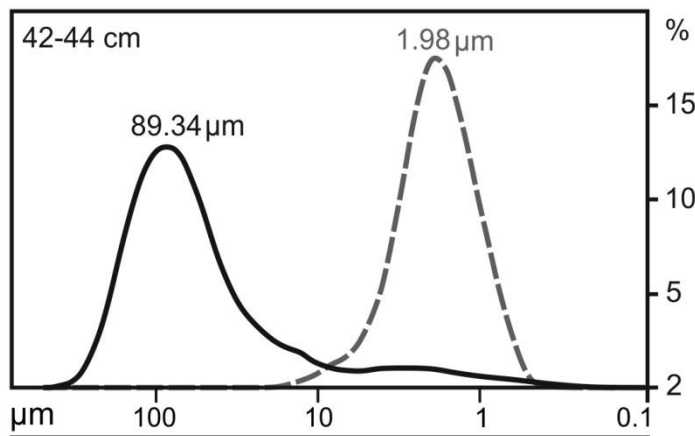


РАЗМЕР

ЛАЗЕРНЫЙ АНАЛИЗАТОР РАЗМЕРА ЧАСТИЦ
Shimadzu SALD 2300

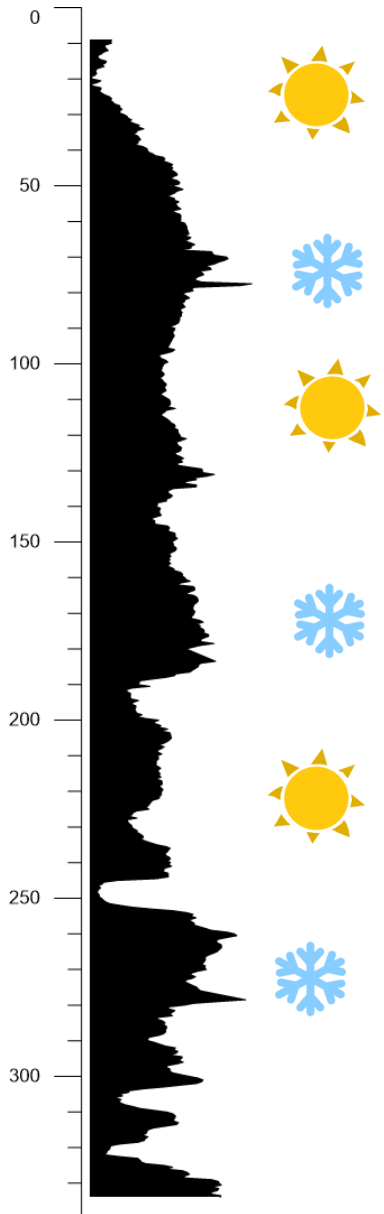


СЕДИМЕНТОГРАФ
SediGraph III plus



МАГНИТНАЯ ВОСПРИИМЧИВОСТЬ

(количество магнитных минералов в осадке)



BARTINGTON MS3 с датчиком MS2E



Корреляция разрезов колонок

Интенсивность терригенного сноса

Влияние гидротермальных источников

Антропогенное загрязнение

...

ХИМИЧЕСКИЙ СОСТАВ ОСАДКОВ

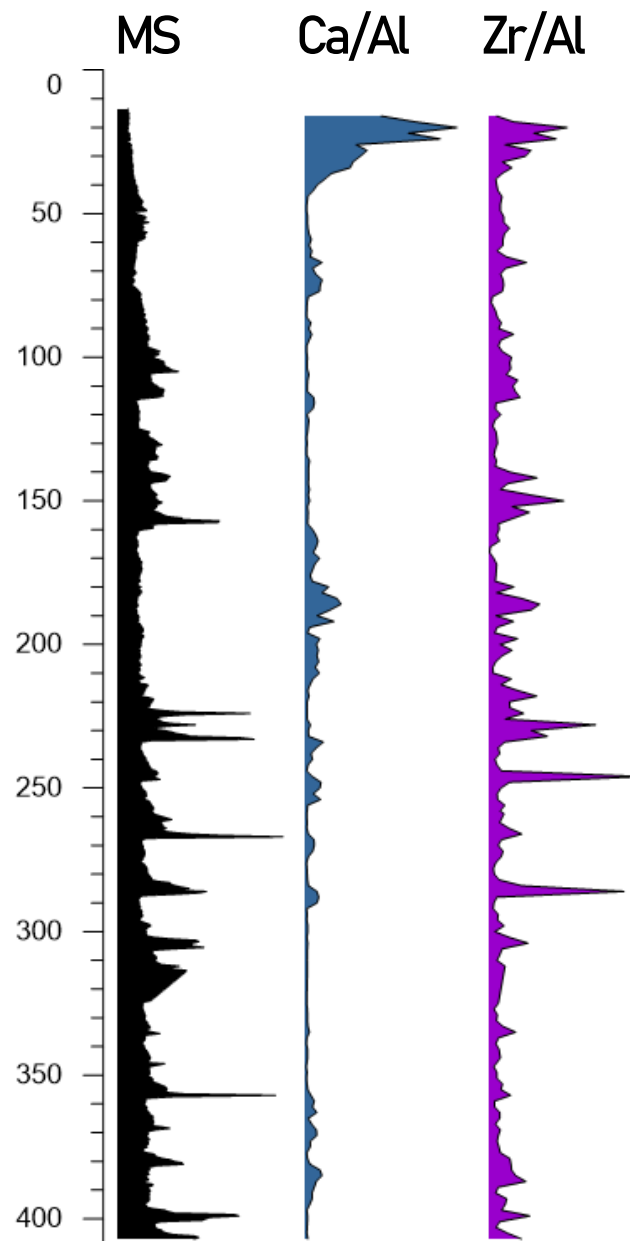
Рентгенофлуоресцентный анализатор
Olympus Vanta C

XRF



Mg, Al, Si, Ca, S, P, Ti, V, Cr,
Mn, Fe, Co, Ni, Cu, W, Zn, Hg,
As, Pb, Bi, Th, U, Sr, Y, Zr, Nb,
Mo, Cd, Sn, Sb

K, Ca, S, P, Ti, V, Cr, Mn, Fe,
Co, Ni, Cu, W, Zn,
Ta, Hg, As, Pb, Bi, Se, Th, U,
Rb, Sr, Y, Zr, Mo, Ag, Cd, Sn,
Sb, LE, Ba, La, Ce, Pr, Nd, Nb



XRD

МИНЕРАЛЬНЫЙ СОСТАВ ОСАДКОВ

Рентгеновский дифрактометр
BRUKER D8 ADVANCE

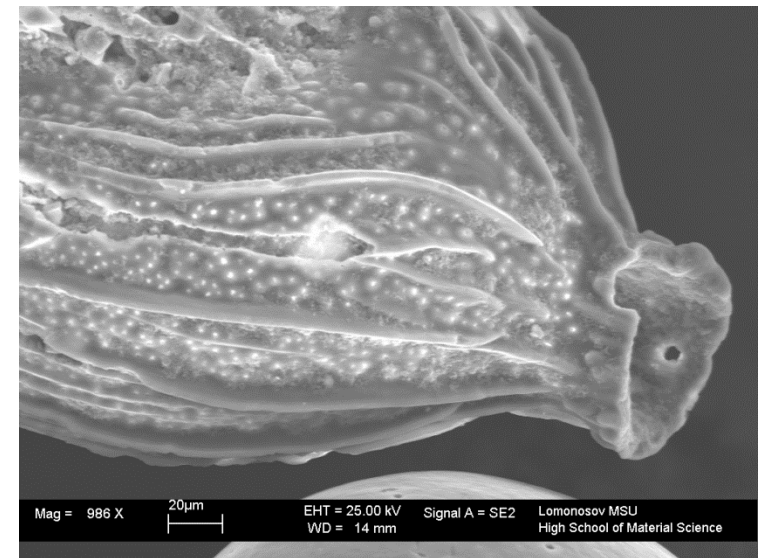
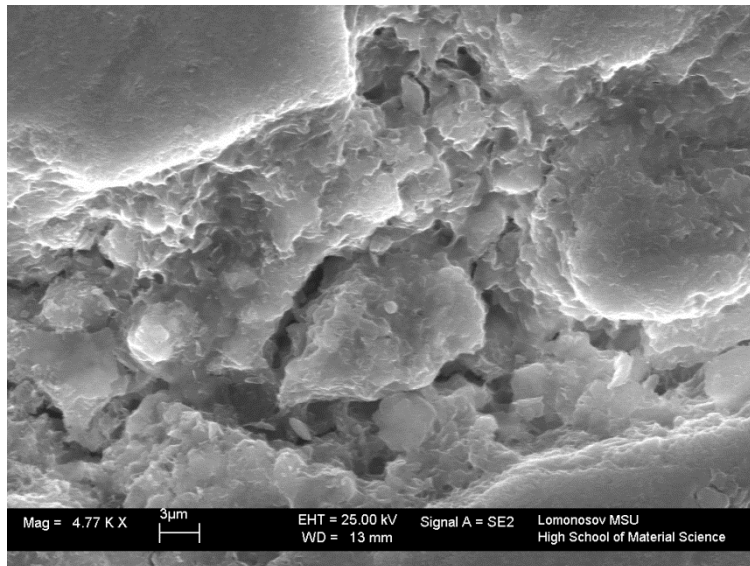
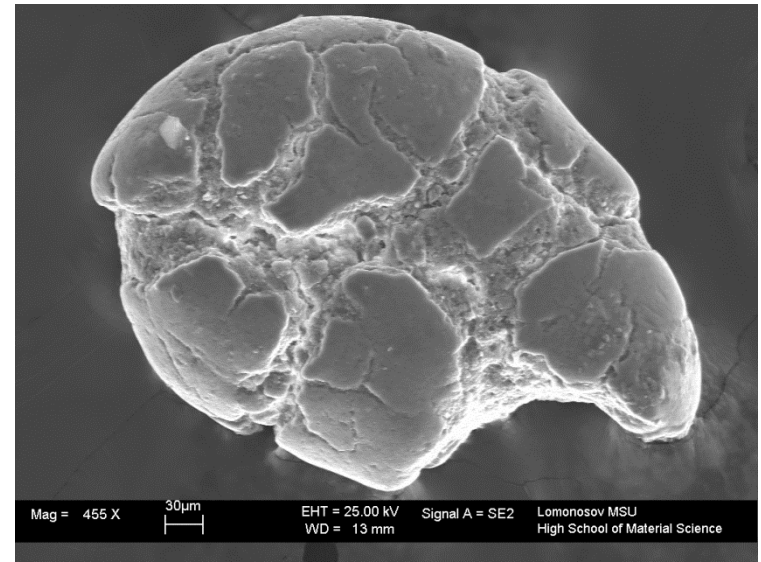
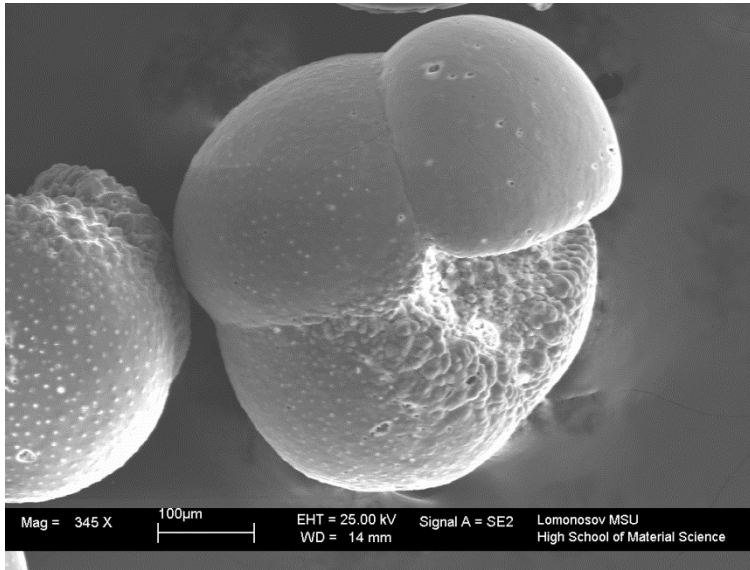


Определение источника
Осадочного материала

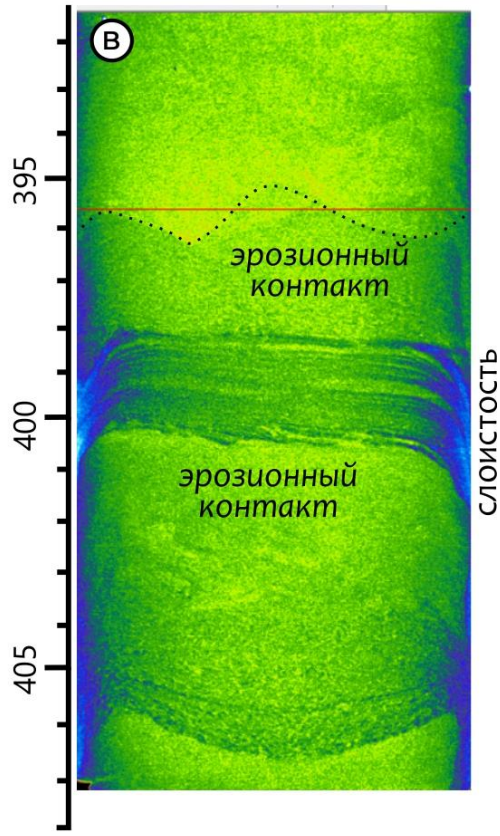
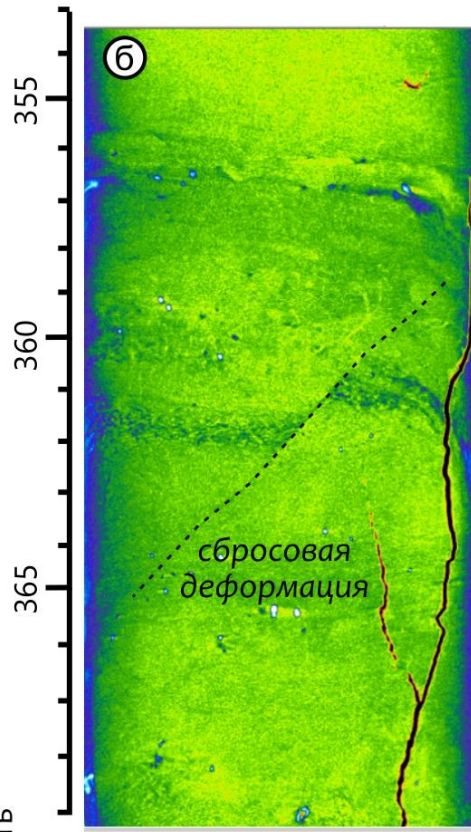
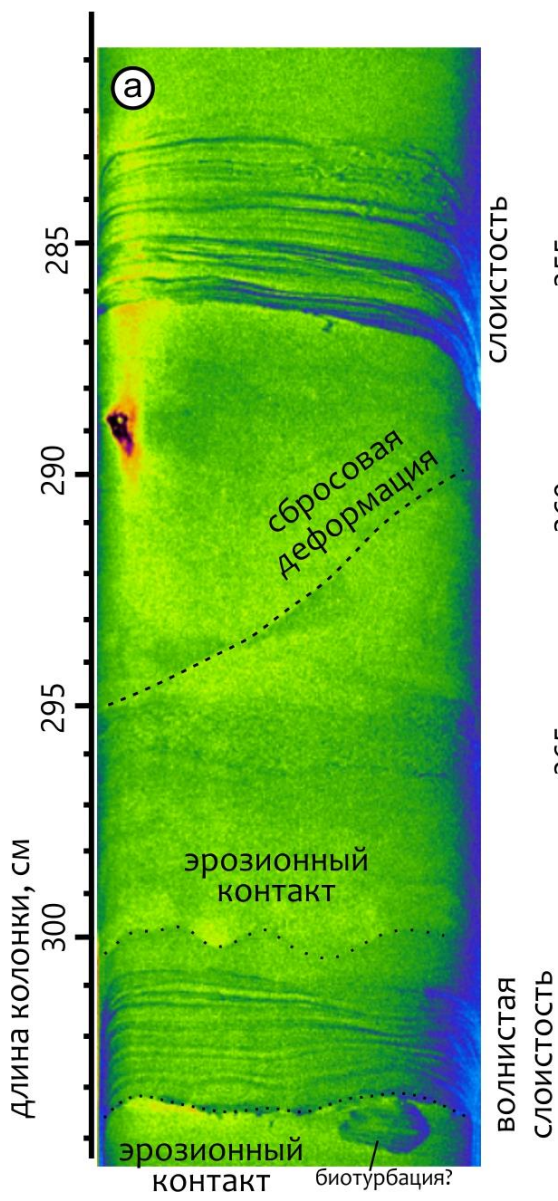
Выявление доминирующих
процессов осадконакопления

SEM

СКАНИРУЮЩАЯ ЭЛЕКТРОННАЯ МИКРОСКОПИЯ



ТОМОГРАФИЯ



CORE LOGGER

